

PbS проявляются те же самые собственные дефекты, что и в спектрах $\alpha(\hbar\omega)$ сильно компенсированного сульфида свинца, а именно V_{cb} . Новые экспериментальные данные не только хорошо согласуются с результатами [6], но и существенно их дополняют. В частности, они позволяют уточнить величину энергетического зазора ΔE между термами E_1 и E_2 вакансии халькогена при 0 К. Оказалось, что в PbS величина ΔE не превышает 20 мэВ. Полученный результат соответствует данным теоретического исследования энергетического спектра вакансий халькогена, выполненного авторами [3].

СПИСОК ЛИТЕРАТУРЫ

- [1] Н. С. Беспалова, А. Н. Вейс, З. М. Дащевский. ФТП, 21, 946 (1987).
- [2] А. Н. Вейс, А. Ю. Рыданов, Н. А. Суворова. ФТП, 27, 701 (1993).
- [3] Б. А. Волков, О. А. Панкратов. ЖЭТФ, 88, 280 (1985).
- [4] Л. И. Бытенский, В. И. Кайданов, Р. Б. Мельник, С. А. Немов, Ю. И. Равич. ФТП, 14, 74 (1980).
- [5] В. И. Кайданов, С. А. Немов, Р. Б. Мельник, А. И. Зайцев, О. В. Жуков. ФТП, 20, 859 (1986).
- [6] А. Н. Вейс, Р. Ю. Крупицкая, А. В. Лумер. ФТП, 22, 1514 (1988).

Редактор Л. В. Шаронова

ФТП, том 27, вып. 8, 1993

ГЛУБОКИЕ СОСТОЯНИЯ В ТВЕРДЫХ РАСТВОРАХ $Pb_{1-x}Sn_xTe$, ЛЕГИРОВАННЫХ ГАЛЛИЕМ

Ю. К. Выграненко, В. В. Слынько, Е. И. Слынько

Институт проблем материаловедения Академии наук Украины, 274001, Черновцы, Украина
(Получено 24 февраля 1993 г. Принято к печати 26 марта 1993 г.)

Соединения $A^{IV}B^{VI}$ и их твердые растворы кристаллизуются со значительным отклонением от стехиометрии, и равновесная концентрация электрически активных собственных дефектов составляет 10^{18} — 10^{19} см $^{-3}$. Понизить концентрацию свободных носителей вплоть до собственной стало возможным лишь при легировании элементами III группы [1].

Изучение фазовой диаграммы системы Pb—Ga—Te вблизи PbTe позволило установить, что кроме обычных областей с электронной и дырочной проводимостью имеется область с собственной проводимостью [2]. Стабилизированное положение уровня Ферми в PbTe : Ga находится посередине запрещенной зоны [2], что позволяет получать высокоомные образцы, обладающие высокой фоточувствительностью при низких температурах [3]. Однако в твердых растворах $Pb_{1-x}Sn_xTe$: Ga в интервале составов, соответствующих $0.19 < x < 0.30$ [4], а также при $x = 0.06, 0.1, 0.18, 0.3$ [5] высокоомное состояние не обнаружено.

Цель настоящей работы — определение области составов (x) твердых растворов $Pb_{1-x}Sn_xTe$: Ga, степени их легирования (N_{Ga}) и отклонения от стехиометрии в сторону Te (z), обеспечивающих получение кристаллов с концентрацией носителей, близкой к собственной.

Нами исследованы электрические свойства твердых растворов $Pb_{1-x}Sn_xTe$ ($x = 0.02, 0.04, 0.06, 0.08$), легированных галлием в количестве $N_{Ga} = 0.2$ и 0.4 ат% . Кристаллы получены сплавлением исходных компонентов $Pb_{1-x}Sn_xTe_{1+\delta}$ ($\delta = 3 \cdot 10^{-4}$) и GaTe в вакуумированных кварцевых ампулах при заданном отклонении

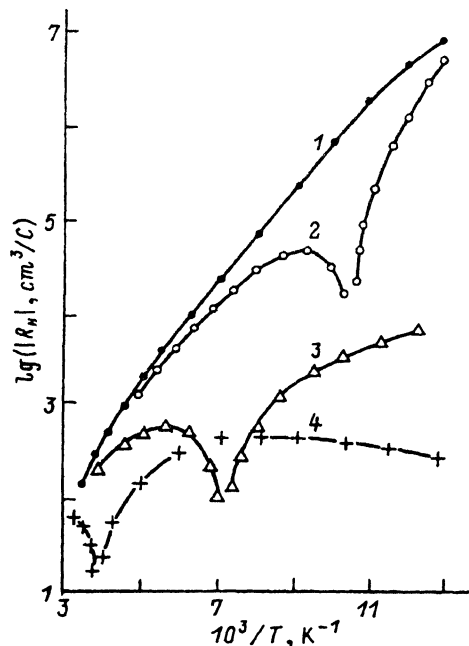


Рис. 1. Температурные зависимости коэффициента Холла в твердых растворах $\text{Pb}_{1-x}\text{Sn}_x\text{Te}$: Ga различного состава. x : 1 — 0.02, 2 — 0.04, 3 — 0.06, 4 — 0.08. z : 1 — 0, 2 — 4 — 0.002. N_{Ga} , ат%: 1 — 0.2, 2 — 4 — 0.4.

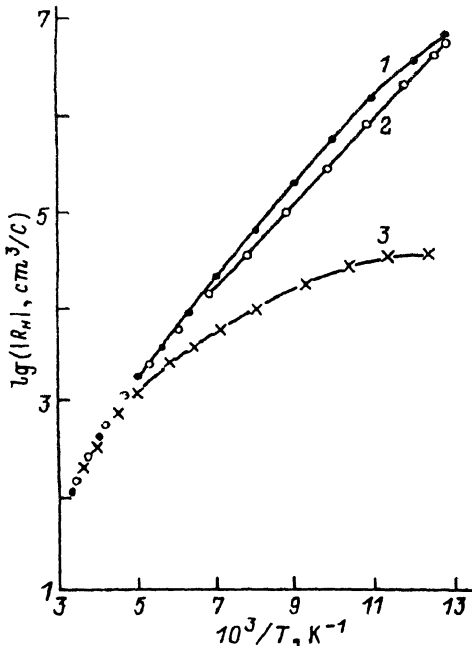


Рис. 2. Температурные зависимости коэффициента Холла в образцах $\text{Pb}_{0.98}\text{Sn}_{0.02}\text{Te}$: Ga . z : 1, 3 — 0; 2 — 0.001. N_{Ga} , ат%: 1 — 0.2, 2 — 3 — 0.4.

от стехиометрии в сторону теллура ($0 < z \leq 0.006$). Последующий гомогенизирующий отжиг проводился при температуре 873 К.

Исследования эффекта Холла (в поле $H = 1.5T$) и электропроводности проводились в интервале температур $77 \div 300$ К в криостате, обеспечивающем полную экранировку образца от фонового излучения. После снятия нарушенного слоя электрохимической полировкой образцы имели размеры $8 \times 1.8 \times 0.4$ мм.

На рис. 1 приведены зависимости коэффициента Холла R_H от температуры для образцов $\text{Pb}_{1-x}\text{Sn}_x\text{Te}$: Ga различного состава.

Образцы стехиометрического состава ($z = 0$) при $x = 0.02$ и $N_{\text{Ga}} = 0.2$ ат% (кривая 1) имеют n -типа проводимости во всем температурном интервале; концентрация электронов при 77 К составляет $7 \cdot 10^{11} \text{ см}^{-3}$, удельное сопротивление $\rho \approx 10^3 \text{ Ом} \cdot \text{см}$. При $x = 0.04$, $z = 0.002$ и $N_{\text{Ga}} = 0.4$ ат% проводимость образцов в области низких температур становится дырочной; концентрация дырок составляет $p = 1.4 \cdot 10^{12} \text{ см}^{-3}$ и $\rho \approx 10^3 \text{ Ом} \cdot \text{см}$. Инверсия знака коэффициента Холла наблюдается при $T_{\text{inv}} = 96$ К (кривая 2). С увеличением содержания Sn до $x = 0.06$ и 0.08 T_{inv} смещается в область более высоких температур. Концентрация дырок при 77 К увеличивается соответственно до $8.4 \cdot 10^{14}$ и $2.3 \cdot 10^{16} \text{ см}^{-3}$ (кривые 3 и 4).

Из приведенных результатов следует, что наиболее низкие концентрации носителей заряда получены на образцах с $x = 0.02$ и 0.04. Дальнейшие исследования проводились на образцах указанных составов при различных значениях N_{Ga} и z .

В соответствии с рис. 2 все образцы состава, соответствующего $x = 0.2$, при разных значениях N_{Ga} и z обладают проводимостью n -типа. Однако при одинаковых значениях x и z с увеличением степени легирования галлием от 0.2 до

0.4 ат% наблюдается рост концентрации электронов при 77 К от $7 \cdot 10^{11}$ до $1.5 \cdot 10^{14}$ см $^{-3}$ (кривые 1, 3) соответственно. В образцах с $N_{\text{Ga}} = 0.4$ ат%, полученных с отклонением от стехиометрии $z = 0.001$, концентрацию электронов при 77 К удалось понизить до $n \approx 10^{12}$ см $^{-3}$ (кривая 2).

Образцы состава, соответствующего $x = 0.04$, при различных параметрах N_{Ga} (0.2 и 0.4 ат%) и z ($0 < z < 0.006$) сохраняют дырочный тип проводимости в области низких температур. На всех образцах обнаружена инверсия знака коэффициента Холла. С увеличением z от 0.002 до 0.006 растет как температура инверсии T_{inv} (от 95 до 140 К), так и концентрация дырок при 77 К (от $1.4 \cdot 10^{12}$ до $4 \cdot 10^{16}$ см $^{-3}$). Наиболее низкие концентрации носителей при 77 К получены в образцах с $N_{\text{Ga}} = 0.2$ ат% при $z = 0$ и в образцах с $N_{\text{Ga}} = 0.4$ ат% при $z = 0.002$; $p = 6 \cdot 10^{11}$ и $1.4 \cdot 10^{12}$ см $^{-3}$ соответственно.

Значения энергии активации, рассчитанные по наклону зависимостей $\lg(nT^{-3/2}) = f(10^3/T)$ для твердых растворов с $x = 0.02$ и 0.04 при $N_{\text{Ga}} = 0.2$ ат% и $z = 0$, составляют соответственно $E_c = -0.085$ и $E_c = -0.096$ эВ.

На основании вышеприведенных результатов можно сделать следующие выводы. Характер температурной зависимости $\lg|R_H| = f(10^3/T)$ твердых растворов Pb $_{1-x}$ Sn $_x$ Te : Ga (наличие инверсии знака R_H и тип проводимости) определяется главным образом составом: т. е. x ; получение Pb $_{1-x}$ Sn $_x$ Te : Ga с концентрацией носителей, близкой к собственной, достигается соответствующим подбором параметров x , N_{Ga} и z ; высокоомное состояние связано с образованием глубокого уровня, который движется в направлении к валентной зоне при увеличении содержания олова.

СПИСОК ЛИТЕРАТУРЫ

- [1] В. И. Кайданов, Ю. И. Равич. УФН, 145, 96 (1985).
- [2] Г. С. Бушмарина, Б. Ф. Грузинов, И. А. Драбкин, Е. Я. Лев, Б. Я. Мойжес, С. Г. Супрун. Изв. АН СССР. Неорг. матер., 23, 222 (1987).
- [3] С. А. Белоконь, Л. Н. Верещагина, И. И. Иванчик, Л. И. Рябова, Д. Р. Хохлов. ФТП, 26, 264 (1992).
- [4] Б. А. Акимов, Н. Б. Брандт, Л. И. Рябова, Д. Р. Хохлов, С. М. Чудинов, О. Б. Яценко. Письма ЖЭТФ, 31, 304 (1980).
- [5] Г. С. Бушмарина, Б. Ф. Грузинов, Т. Т. Дедегкаев, И. А. Драбкин, Т. Б. Жукова, Е. Я. Лев. Изв. АН СССР. Неорг. матер., 16, 2136 (1980).

Редактор Л. В. Шаронова

ФТП, том 27, вып. 8, 1993

АМОРФНЫЙ ГИДРИРОВАННЫЙ КРЕМНИЙ, ЛЕГИРОВАННЫЙ ДИСПРОЗИЕМ

Г. С. Куликов, М. М. Мездргина, С. К. Першееев, К. П. Абдурахманов

Физико-технический институт им. А. Ф. Иоффе Российской академии наук, 194021, Санкт-Петербург, Россия
(Получено 21 января 1993 г. Принято к печати 26 марта 1993 г.)

Аморфный гидрированный кремний ($a\text{-Si} : \text{H}$) находит применение в электронике при производстве солнечных элементов и ряда других полупроводниковых приборов. Электрофизические свойства $a\text{-Si} : \text{H}$ в существенной мере определя-